

## ВЛИЯНИЕ ПОТЕРЬ НА СПЕКТРАЛЬНЫЕ ХАРАКТЕРИСТИКИ ЛЕНТОЧНЫХ СЕТОК

Е.А. Виноградов, В.И. Голованов

УДК 537.8.029

Для одномерных ленточных сеток с поверхностными сопротивлениями проводящих лент  $R_s = 10 \text{ Ом} \div 1 \text{ кОм}$  измерены спектры пропускания излучения в диапазоне длин волн  $\lambda$  от 0,5 до 8 мм ( $1,5 \geq k = D/\lambda > 0,06$ ). Для  $k \ll 1$  обнаружено хорошее совпадение измеренных характеристик с простой импедансной моделью.

В работе /1/, посвященной исследованию коэффициента пропускания одномерных ленточных сеток, образованных параллельными тонкими металлическими лентами, в диапазоне длин волн излучения от 0,9 до 8 мм было обнаружено, что для "индуктивных" сеток (вектор  $E$  параллелен лентам) с коэффициентом заполнения  $S = B/D = 0,5$  ( $B$  – ширина лент,  $D$  – период сетки) в области резонанса ( $k = D/\lambda = 1$ ) из-за наличия в сетках потерь происходит уменьшение коэффициента пропускания  $T_E$  по сравнению с расчетом для идеальной сетки без потерь.

В настоящей работе рассматривается влияние потерь, вызванное омическим сопротивлением лент в сетках с величинами  $S$  от 0,063 до 0,5 на характеристики "индуктивных" сеток в диапазоне  $k$  от 0,06 до 1,5 при нормальном падении излучения. Сетки изготавливались, как и в работе /1/, методом фотолитографии из сплошных тонких металлических пленок из алюминия на лавсановой подложке толщиной 7 мкм. Толщина пленок была значительно меньше толщины скин-слоя, а значения поверхностного сопротивления  $R_s$ , измеренные по коэффициенту пропускания в миллиметровом диапазоне, находились в интервале от 10 Ом до 1 кОм. Как следует из работы /2/, у таких пленок величина  $R_s$  во всем субмиллиметровом и миллиметровом диапазонах действительна и постоянна с высокой точностью ( $\sim 2\%$ ).

Так как после изготовления сеток на металлических лентах оставался слой фоторезиста, была определена степень его влияния на измеряемую ве-

личину коэффициента пропускания для пленок с  $T = 10; 20$  и  $50\%$  путем измерений до и после нанесения фоторезиста. В пределах точности измерения ( $\sim 2\%$ ) изменений коэффициента пропускания обнаружено не было.

Измерение спектров коэффициента пропускания  $T_E$  (по мощности) проводилось на автоматизированном квазиоптическом ЛОВ-спектрометре "MAC-1" /1/. Направление лент сеток с помощью диоптрийной трубы точно совмещалось с направлением металлических проводов поляроидов, задающих  $E$ -поляризацию излучения.

На рис. 1 представлены спектры  $T_E(k)$  для сеток с  $S = 0,5; 0,25$  и  $0,1$ . Сплошные линии обозначают расчет по формулам работы /3/ для "идеальной" сетки без потерь (с нулевым  $R_s$ ). Видно, что наличие у сетки сопротивления и связанного с ним поглощения сильно влияет на  $T_E$ . Сетки, изготовленные из металлических пленок с малой величиной  $R_s$ , имеют меньшие значения  $T_E$  в области резонанса, чем "идеальные" сетки. С увеличением  $R_s$  сетки в области  $k \ll 1$  появляется не зависящий от частоты участок с величиной  $T_E$  большей, чем для "идеальной" сетки. Для сеток, изготовленных из пленок с большим  $R_s$ , частотная зависимость вплоть до  $k = 1$  исчезает.

Такое поведение коэффициента пропускания  $T_E$  "индуктивных" сеток, обладающих потерями в области  $k \ll 1$ , хорошо описывается с помощью предложенной в работах /4,5/ эквивалентной схемы, которая содержит комплексное сопротивление из последовательно соединенных индуктивности  $L$  и активного сопротивления  $R_{sc}$ . При этом величины  $L$  и  $R_{sc}$  определяются коэффициентом заполнения сетки  $S$ , а комплексное сопротивление  $z_{sc} = R_{sc} + jkL = R_s/s + jkL$  (где  $R_s$  — поверхностное сопротивление металлической пленки, из которой была изготовлена сетка). На рис. 1 штриховыми линиями показаны результаты расчета  $T_E(k)$  по такой схеме. Видно, что эквивалентная схема хорошо описывает поведение  $T_E(k)$  в области  $k < 0,3$ , а для сеток с сопротивлением  $\sim 1$  кОм и в области  $k \geq 1$ .

Вдали от резонансной частоты ( $k \ll 1$ ) активная составляющая сопротивления  $z_{sc}$  будет больше реактивной составляющей,  $R_{sc} \gg kL$ , и последней можно пренебречь. Электродинамические параметры сетки будут определяться величиной  $R_s/s$ , которая в субмиллиметровом и миллиметровом диапазонах не зависит от частоты. Электродинамически сетка с потерями при  $k \ll 1$  и  $R_{sc} \gg kL$  будет для излучения  $E$ -поляризации вести себя как сплошная металлическая пленка с поверхностным сопротивлением  $R_{sc}$ , которое определяет не зависящие от частоты коэффициенты пропускания  $T_E$ , отражения  $R_E$  и поглощения  $G_E$ .

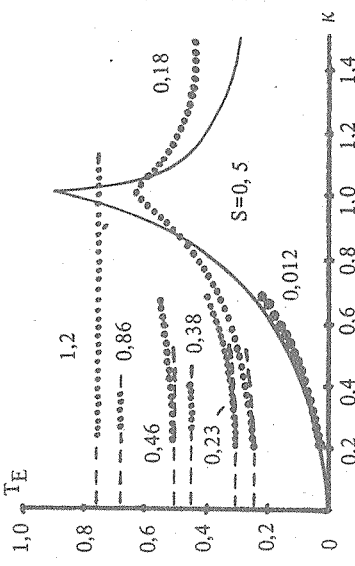
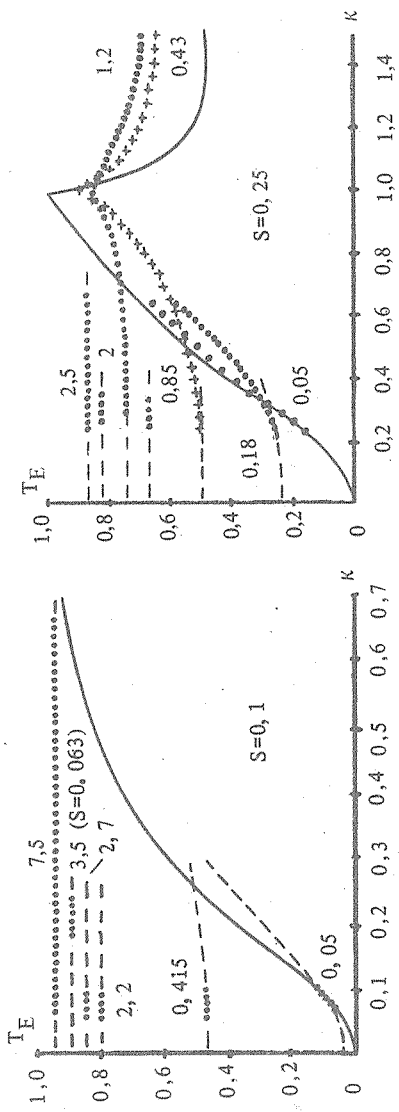


Рис. 1. Спектры  $T_E$  (К) ленточных сеток с потерями при различных значениях коэффициента заполнения  $S$  и активного сопротивления  $R_{sc}$ . Цифры обозначают величину  $R_{sc}$  в кОм. Сплошная линия — расчет для сетки без потерь [3], штриховая линия — расчет для эквивалентной схемы [4], точки и крестики — результаты эксперимента.

С целью проверки этого утверждения для нескольких сеток с коэффициентом заполнения  $S = 0,25$  и величиной  $R_{sc} = 188,5 \text{ Ом}$  при  $\kappa = 0,15$  были измерены коэффициенты  $T_E$ ,  $R_E$  и по ним вычислен коэффициент поглощения  $G_E = 1 - T_E - R_E$ . В результате были получены значения  $T_E = 24 \pm 2\%$ ;  $R_E = 26 \pm 2\%$ ;  $G_E = 50 \pm 4\%$ .

Для коэффициентов пропускания  $t = \sqrt{T_E}$  и отражения  $r = \sqrt{R_E}$  выполняется соотношение  $t + r = 1$ , что подтверждает правомерность применения импедансной модели для "индуктивных" сеток с потерями в области  $\kappa \ll 1$ .

Таким образом, результаты выполненного исследования показали, что возможно создание анизотропной структуры с активным поверхностным импедансом для излучения с длиной волны, значительно большей периода анизотропии. Полученные результаты имеют важное значение для создания принципиально новых элементов и устройств квазиоптических трактов.

Поступила в редакцию 31 мая 1985 г.

#### ЛИТЕРАТУРА

1. Виноградов Е. А., Голованов В. И., Лукьянин Д. А. Препринт ФИАН № 127, М., 1982.
2. Виноградов Е. А., Голованов В. И. Краткие сообщения по физике ФИАН, № 1, 48 (1984).
3. Шестопалов В. П. Метод задачи Римана-Гильберта в теории дифракции и распространения электромагнитных волн. Изд. Харьковского университета, Харьков, 1971.
4. Ulrich R., Renk K. F., Gensel L. IEEE Trans. on MTT, MTT-11, 363 (1963).
5. Вайнштейн Л. А. Сб. Электроника больших мощностей, вып. 2, изд. АН СССР, М., 1963, с. 26, 57.